

# بررسی تبلور ترکیب‌های پارافینی در جریان نفت مدل در لوله سرد

شهرام مسعودی<sup>\*</sup>، محسن وفایی سفتی<sup>†</sup>، حمید رضا جعفری

تهران، دانشگاه تربیت مدرس، دانشکده مهندسی شیمی

**چکیده:** انتقال نفت واکس دار از نقاط سرد سبب کاهش حلالیت ترکیبات پارافینی در نفت و رسوب آنها بر دیواره لوله می‌شود. با بررسی ساختار رسوب، می‌توان فرایند سخت شدن رسوب را بررسی نمود. بررسی ساختار رسوب در لوله نشان داد که بلورها با رشد لایه رسوب، از ساختار صفحه‌ای به ناقص و گویچه‌ای تغییر شکل می‌یابد. با مشاهده‌های انجام شده نسبت ابعادی بلورها در معادله پیش‌بینی نفوذ پذیری رسوب تصحیح شد.

**واژه‌های کلیدی:** تبلور، ساختار رسوب، پارافین، واکس، سخت شدن رسوب.

**KEY WORDS:** Crystallization, Deposit structure, Paraffin, Wax, Hadening.

## مقدمه

در میکروسکوپ نوری مطابقت نداشت. پژوهش‌های پاسو [۴] و ونکاتسن [۵] نشان داد که نسبت ابعادی متوسط بلورهای صفحه‌ای برابر با ۲ تا ۴ است. از سوی دیگر رابطه متداول برای پیش‌بینی نفوذ پذیری در دماهای دیواره بالا نتیجه مناسی را ارایه نمی‌کند. این نتیجه توسط لی و همکاران [۶] گزارش شده است. از این رو در این پژوهش به بررسی ساختار رسوب در لوله و تأثیر آن بر نفوذ پذیری رسوب پرداخته شده است.

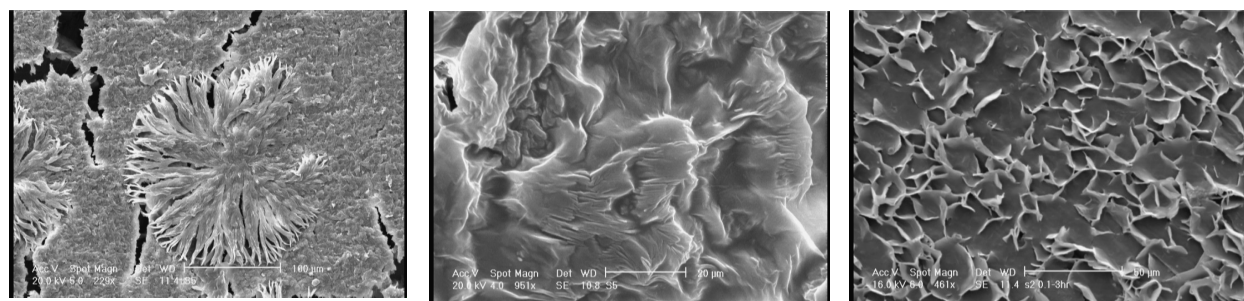
بررسی پژوهش‌های انجام شده بر بلورهای پارافینی نشان می‌دهد توافق جامعی بر شکل بلورهای پارافینی وجود ندارد که می‌تواند ناشی از روش تهیه نمونه و نیز تفاوت در خوارک‌های مورد استفاده و روش بررسی بلورها باشد. شکل بلورها را می‌توان به انواع صفحه‌ای، ناقص، گویچه‌ای و میله‌ای طبقه‌بندی نمود [۷ - ۱۱]. در مشاهده‌های این پژوهش تمامی ساختارها غیر از نوع میله‌ای مشاهده شد که در شکل ۱ آمده است.

در این پژوهش از میکروسکوپ الکترونی و روش آماده‌سازی مطابق مرجع [۱۴] استفاده شده است و آزمایش‌ها در یک لوله

در انتقال نفت خام از محیط‌های سرد، ترکیب‌های پارافینی روی دیواره لوله متبلور شده و رسوب واکس را تشکیل می‌دهند. با گذشت زمان ضخامت رسوب افزایش می‌یابد و به دنبال آن دمای سطح مشترک رسوب افزایش می‌یابد. به این ترتیب حلالیت ترکیبات پارافینی افزایش یافته و سرانجام رشد و تشکیل رسوب متوقف می‌شود [۱]. مقدار واکس جامد در رسوب می‌تواند از ۵ تا ۵۰ درصد تغییر کند که سبب تشکیل رسوبی به شکل ژلتا رسوب سخت شود [۲، ۳]. فرایند سخت شدن رسوب توسط سینگ [۳] در دستگاه حلقة جریانی بررسی شد. او پدیده سخت شدن رسوب را با نفوذ ترکیب‌های پارافینی به داخل رسوب تشریح نمود. او نسبت ابعادی بلور (نسبت نصف طول به ضخامت یک بلور صفحه‌ای پارافینی) را به عنوان پارامتر مؤثر در پیش‌بینی نفوذ پذیری رسوب در نظر گرفت [۱ - ۳]. سینگ [۳] فرض نمود که تمام بلورهای موجود در رسوب به صورت صفحه‌ای هستند. در داده‌های ورودی مدل او نسبت ابعادی بلورها مقدارهای بسیار بزرگی (عدد ۲۴) در نظر گرفته شد که با مشاهده‌های انجام شده

\* عهده دار مکاتبات

+E-mail: vafaiesm@modares.ac.ir



شکل ۱- ساختار بلورهای واکس به ترتیب از راست به چپ: صفحه‌ای، ناقص؛ گویچه‌ای.

۱۱، ۵/۴ و ۵/۵ درصد تعیین شد. همانگونه که مشخص است با گذشت زمان، تخلخل در سطح رسوب کاهش می‌یابد و به دنبال آن درصد جامد افزایش یافته و رسوب سخت‌تر می‌شود. ضخامت رسوب در آزمایش‌های ۱ تا ۷ به ترتیب برابر با ۱۵۰، ۲۱۰، ۲۴۰، ۲۵۰، ۲۷۰، ۳۱۰ و ۳۲۰ میکرومتر بود که توسط یک میکرومتر اندازه‌گیری شد. بررسی ضخامت رسوب نشان می‌دهد که با گذشت زمان سرعت رشد لایه کند می‌شود و به عبارت دیگر با افزایش دمای سطح مشترک و افزایش حلالیت ترکیبات پارافینی، تشکیل بلورهای پارافینی کاهش می‌یابد. در ادامه به بررسی اثر دمای تشکیل رسوب بر ساختار رسوب پرداخته می‌شود.

در آزمایش‌های ۸-۱۱، دمای دیواره در بازه دمایی نقطه ابری شدن تا دمای ناپدید شدن بلورها تنظیم شده است. در این آزمایش‌ها شدت جریان سیال نیز کمینه شد تا سرعت رشد رسوب بیشینه گردد [۶، ۳].

نتیجه‌ها نشان می‌دهد که تغییر ساختار از بلورهای صفحه‌ای به ناقص در این بازه دمایی رخ می‌دهد. در این بازه دمایی ترکیب‌های سنگین پارافینی شروع به جدا شدن از نفت می‌کند که به سبب بلند بودن طول زنجیره خود نمی‌توانند به سرعت در ساختار صفحه‌ای قرار گیرند [۲۳]. در ادامه به بررسی اثر ساختار در پیش‌بینی نفوذپذیری آن پرداخته خواهد شد.

#### نفوذپذیری رسوب

افزایش جزء جامد در رسوب با مکانیسم نفوذ مولکول‌های پارافینی انجام می‌شود [۳-۱] که به ساختار رسوب و آرایش بلورها وابسته است. نفوذ پذیری رسوب واکس به صورت متدالو توسعه معادله (۱) پیش‌بینی می‌شود. این رابطه توسط فلا و کسلر [۲۴] برای غشاء‌های متتشکل از صفحات غیر قابل نفوذ که

با دیواره سرد (دستگاه حلقه جریانی) انجام شد [۶، ۳]. خوارک مورد استفاده در این آزمایش‌ها مخلوط ۴۰٪ وزنی از واکس ۷۶-۲ شرکت بهران و نفت سفید می‌باشد. دمای ابری شدن و ناپدید شدن سیال مطابق با مرجع [۲۳] اندازه‌گیری شد و برابر ۱۴/۵ و ۱۷/۲ تعیین شد. در این بررسی برخلاف پژوهش‌های پیشین که در میکروسکوپ نوری و رئومتر انجام می‌شود، نمونه رسوب تهیه شده ساکن است و زمان انجام فرایند بسیار کنترل از زمان تشکیل رسوب در این دو دستگاه متدالو است و به این ترتیب می‌توان به بررسی ساختار رسوب با زمان و رشد لایه رسوب در لوله پرداخت.

#### بخش تجربی ساختار رسوب واکس

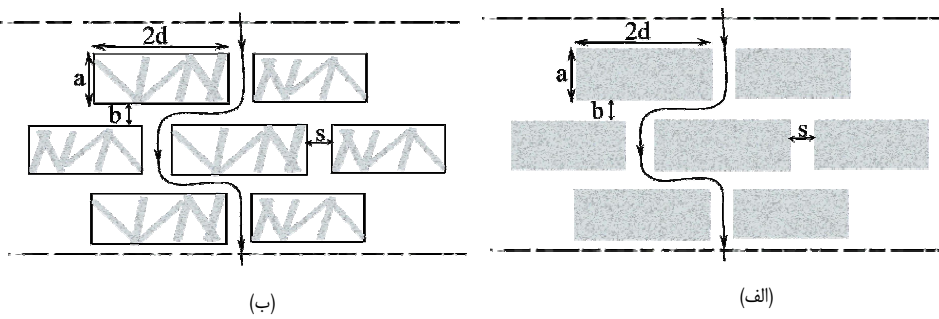
در این بخش، تمرکز بر ساختار رسوب و رشد آن بر دیواره لوله می‌باشد. با نمونه گیری از رسوب در زمان‌های مشخص، ساختار رسوب بررسی شد. نتایج‌های این آزمایش‌ها در جدول ۱ آمده است.

از آنجا که امکان یک نمونه گیری در هر آزمایش وجود داشت، آزمایش‌های ذکر شده در جدول به صورت جداگانه انجام شدند.

با مقایسه آزمایش‌های ۱ تا ۷ مشخص شد ساختار رسوب با گذشت زمان از بلورهای صفحه‌ای به ناقص و گویچه‌ای تغییر می‌یابد. در ابتدا بلورهای صفحه‌ای به صورت پراکنده و عمود بر دیواره لوله رشد می‌کنند و سپس بلورهای صفحه‌ای جدیدی بر صفحات اولیه رشد می‌نمایند و سبب اتصال آنها به بلورهای مجاور خود و ایجاد شبکه‌های متخلخل می‌شوند. میزان تخلخل در سطح رسوب به عنوان پارامتری که می‌تواند بیانگر میزان سختی رسوب باشد با استفاده از تحلیل تصویرها تعیین شد. تخلخل بیشینه در آزمایش‌های ۱ تا ۷ برابر با ۵۰/۵، ۹۶/۶۵، ۳۷/۱

جدول ۱- شرایط تشکیل رسوب و ساختار آن.

شماره	Q (L/min)	T <sub>c</sub> (°C)	زمان (دقیقه)	ساختار بلورها در رسوب
۱	۶,۵	-۳	۵	صفحه‌ای بزرگ پراکنده
۲	۶,۵	-۳	۱۰	صفحه‌ای بزرگ با بلورهای جانبی
۳	۶,۵	-۳	۲۰	صفحه‌ای با بلورهای جانبی
۴	۶,۵	-۳	۳۰	صفحه‌ای با بلورهای جانبی
۵	۶,۵	-۳	۴۵	صفحه‌ای کوچک
۶	۶,۵	-۳	۱۲۰	صفحه‌ای کوچک و بلورهای ناقص
۷	۶,۵	-۳	۲۴۰	بلورهای ناقص و گویچه‌ای
۸	۰,۲۵	۱۴	۶۰	صفحه‌ای کوچک
۹	۰,۲۵	۵,۱	۱۴۰	صفحه‌ای کوچک
۱۰	۰,۲۵	۵,۱	۲۱۶۰	صفحه‌ای کوچک و بلورهای ناقص
۱۱	۰,۲۵	۲,۱	۲۸۸۰	رسوب تشکیل نشد



شکل ۲- ساختار رسوب در مدل پیش‌بینی کننده خربی نفوذ.

از بلورهای صفحه‌ای عمود بر دیواره تشکیل می‌شود که در این حالت جهت نفوذ و سطح بلورها، موازی یکدیگر هستند. این مشاهده‌ها با فرض مدل فالا و کسلر [۲۳] مطابقت ندارد. بنابراین این مدل برای پیش‌بینی نفوذپذیری اولین لایه رسوب قابل استفاده نیست. اما با رشد بلورهای جانبی بر بلورهای صفحه‌ای اولیه و اتصال آنها با یکدیگر، گروه‌های ایجاد می‌شود که مطابق شکل ۲ ب به صورت عمود بر جهت نفوذ قرار می‌گیرند. در این حالت شرایط، فرض استفاده از معادله (۱) برقرار خواهد بود. از این رو این معادله می‌تواند مقدار جزء جامد در رسوب را به خوبی پیش‌بینی نماید [۱، ۳]. در این حالت نسبت ابعادی متوسط بلورها با نسبت ابعادی متوسط گروه‌های می‌باید جایگزین شود. بنابراین نسبت ابعادی به کار رفته در معادله (۱) می‌تواند بسیار بزرگتر از

عمود بر جهت نفوذ قرار می‌گردد، ارایه شده است (شکل ۲). در پیش‌بینی نفوذپذیری رسوب واکس تمامی بلورها را به صورت صفحه‌ای در نظر می‌گیرند و از رابطه ساده شده فالا و کسلر [۲۴] استفاده می‌شود [۱، ۳، ۶].

$$\frac{D_{eff}}{D_{wo}} = \frac{1}{1 + \frac{\alpha' F_w'}{1 - F_w}} \quad (1)$$

در این رابطه  $D_{eff}$  ضریب نفوذ مؤثر،  $D_{wo}$  ضریب نفوذ واکس در محلول،  $F_w$  مقدار جز جامد در رسوب،  $\alpha$  ( $d/a$ ) نسبت ابعادی متوسط بلورهای صفحه‌ای می‌باشد.

در مدل سازی رسوب واکس در لوله با تصحیح نسبت ابعادی بلورها در این رابطه، میزان نفوذ پذیری رسوب پیش‌بینی می‌شود [۱، ۳]. همانگونه که دیده شد، رسوب اولیه واکس

افزایش ضخامت آن تغییر می‌یابد. در ابتدا بلورها با ساختار صفحه‌ای و عمود بر دیواره لوله تشکیل می‌شوند سپس با افزایش ضخامت رسو ب و به دنبال آن افزایش دمای سطح، بلورهای ناقص و گویچه‌ای تشکیل می‌شود. ساختار رسو در بازه دمایی نقطه ابری شدن تا دمای ناپدید شدن بلورها تغییر می‌کند. ساختار رسو بر پیش‌بینی نفوذپذیری آن تأثیر می‌گذارد. در این بررسی مشخص شد که استفاده از رابطه متداول نفوذپذیری رسو تنها در شرایط تشکیل بلورهای صفحه‌ای می‌تواند مورد استفاده قرار گیرد. در این شرایط برای استفاده از رابطه نفوذپذیری، می‌باید پارامتر نسبت ابعادی بلورها با نسبت ابعادی اجتماعات بلوری جایگزین شود.

تاریخ دریافت: ۱۳۸۱/۱۰/۳۰ ؛ تاریخ پذیرش: ۱۳۸۹/۲/۱۳

نسبت ابعادی بلورهای صفحه‌ای پارافینی باشد. این تعریف می‌تواند مقدارهای بالای نسبت ابعادی در نفوذپذیری رسو ب را به خوبی توجیه نماید.

معادله (۱) تنها برای غشاء‌هایی با ساختار صفحه‌ای ارایه شده است بنابراین این معادله نمی‌تواند برای پیش‌بینی نفوذپذیری رسو در بازه نقطه ابری شدن تا دمای ناپدید شدن بلورها به کار رود زیرا رشد بلورهای صفحه‌ای تنها در دماهای دور از این بازه انجام می‌شود. این نتیجه پیش‌بینی نامناسب جزء جامد در رسو (لی و همکاران [۶]) توسط این معادله را در دماهای بالا توضیح می‌دهد.

## نتیجه‌گیری

در این پژوهش ساختار رسو و اکس در لوله سرد بررسی گردید. مشاهده‌ها نشان داد که ساختار رسو با رشد رسو و

## مراجع

- [1] Hernandez O.C., Hensley H, Sarica C. Improvements in Single-Phase Paraffin Deposition Modeling, *SPE Journal*, **25**, p. 237 (2004).
- [2] Lund H.J., Thesis M.S, The University of Tulsa, Investigation of Paraffin Deposition During Single Phase Flow, (1998).
- [3] Singh P., Venkatesan R., Fogler H.S., Morphological Evolution of Thick Wax Deposits during Aging, *AICHE Journal*, **47**, p. 6 (2001).
- [4] Paso K.G., Fogler H.S., Influence of n-Paraffin Composition on the Aging of Wax-Oil Gel Deposits, *AIChE Journal*, **49**, p. 3241 (2003).
- [5] Venkatesan R., Nagarajan N.R., Paso. K., Yi. Y.B., Sastry A.M., Fogler H.S., The Strength of Paraffin Gels Formed under Static and Flow Conditions, *Chemical Engineering Science*, **60**, p. 3587 (2005).
- [6] Lee H., Venkatesan R., Fogler HS. Development of a Wax Deposition Model Based on Combined Convective Heat and Mass Transfer Analysis under Turbulent Conditions, "The 8th International Conference on Petroleum Phase Behavior and Fouling", (2007).
- [7] Holder G.A., Winkler J, Wax Crystallization from Distillate Fuels: Cloud and Pour Phenomena Exhibited by Solutions of Binary n-Paraffin Mixtures, *Industrial Petroleum*, **51**, p. 228 (1965).
- [8] Ferris S.W., Cowles H.C., Crystal Behavior Of Paraffin Wax, *Industrial And Engineering Chemistry*, **37**, p. 1054 (1964).
- [9] Chang Ch, Boger D V, Nguyen Q D. Influence of Thermal History on the Waxy Structure of Statically Cooled Waxy Crude Oil, *SPE Journal*, **5**, p. 148 (2000).
- [10] Chichakli M. Crystal Morphology in Hydrocarbon Systems, *Industrial and Engineering Chemistry*, **59**, p. 86 (1967).

- [11] Kane M, Djabourova M, Volle J., Morphology of Paraffin Crystals in Waxy Crude Oils Cooled in Quiescent Conditions and under Flow, *Fuel*, **82**, p. 127 (2003).
- [12] Lu X., Langton M., Olofsson P., Wax Morphology In Bitumen, *Journal Of Materials Science*, **40**, p. 1893 (2005).
- [13] Edwards R.T., Crystal Habit of Paraffin Wax, *Industrial Engineering Chemistry*, **49**, p. 750 (1957).
- [14] Imai T., Nakamura K., Shibata M., Relationship between the Hardness of an Oil-Wax Gel and the Surface Structure of the Wax Crystals, *Colloids Surface*, **A 19**, p. 233 (2001).
- [15] Clarke E., Crystal Types of Pure Hydrocarbons in the Paraffin Wax Range, *Industrial Engineering Chemistry*, **43**, p. 2526 (1951).
- [16] Hansen A.B., Larson E., Pedersen W.B., Nielsen A.B., Ronningsen H.P., Wax Precipitation from North Sea Crude Oils. 3. Precipitation and Dissolution of Wax Studied by Differential Scanning Calorimetry, *Energy & Fuels*, **5**, p. 914 (1991).
- [17] Le'toffe' JM., C.P., Garcin M., Volle JL, Crude Oils: Characterization of Waxes Precipitated on Cooling by D.S.C. and Thermo-microscopy, *Fuel*, **74**, p. 810 (1995).
- [18] Srivastava S.P., Handoo J., Agrawal K.M., Joshi G.C., Phase-Transition Studies in n-Alkanes and Petroleum Related Waxes: A Review, *Phys. Chem. Solids*, **54**, p. 639 (1993).
- [19] Katz J., The Crystallization of Paraffin Wax Part 2, *Industrial Petroleum Technology*, **18**, p. 37 (1932).
- [20] Marek Zbik, Roger G. Horna, Neil Shaw, AFM Study of Paraffin Wax Surfaces Colloids and Surfaces A: *Physicochemical Engineering Aspects*, **287**, p. 139 (2006).
- [21] Plomp M., Enckevort W.J.P. van, Hoof, P.J.C.M. van, Streek C.J. van de Morphology of and Dislocation Movement in n-C<sub>40</sub>H<sub>82</sub> Paraffin Crystals Grown from Solution Crystals, *Journal of Crystal Growth*, **249**, p. 600 (2003).
- [22] Bhat N.V., Mehrotra AK. Measurement and Prediction of the Phase Behavior of Wax-Solvent Mixtures: Significance of the Wax Disappearance Temperature, *Industrial Engineering Chemistry Research*, **43**, p. 3451 (2004).
- [23] Lopes-da-Silva J.A., Coutinho A.P., Analysis of the Isothermal Structure Development in Waxy Crude Oils under Quiescent Conditions, *Energy & Fuels*, **21**, p. 3612 (2007).
- [24] Falla W.R., Mulski M., Cussler E.L., Estimating Diffusion Through Flake-Filled Membranes, *Journal of Membrane Science*, **119**, p. 129 (1996).